

,

1-

-1000

" . , " . . "

-1000
1-

(-320, -428, -446)

,

[1, 2].

() 1-

,

,

-320,

PWR.

,

[3, 4].

,

,

1-

-1000

,

(¹ ²
 -446),
 (-320).

(-428),

4 ¹

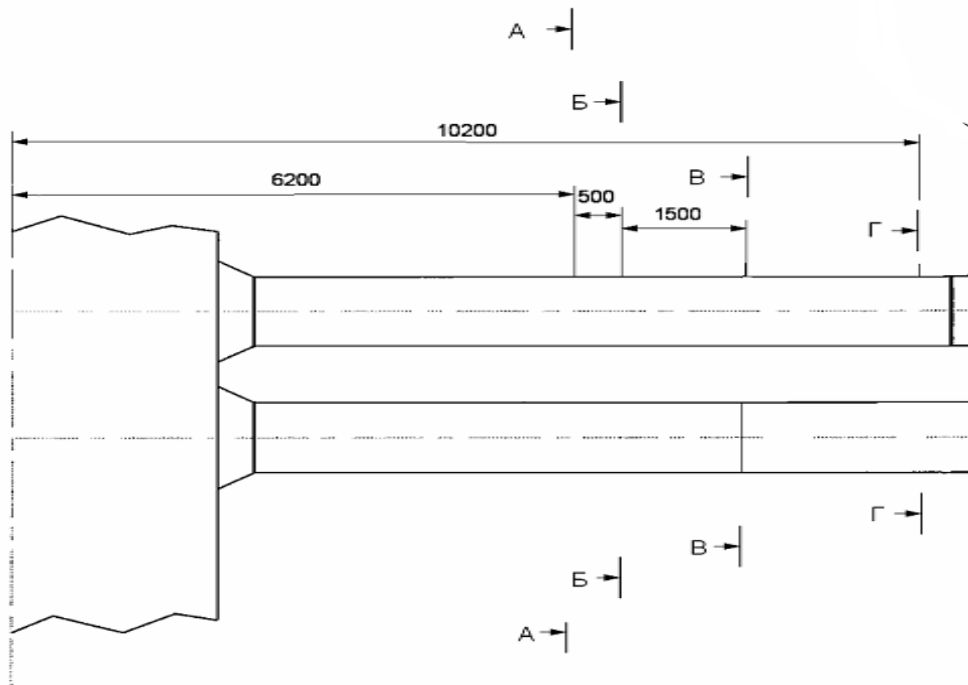
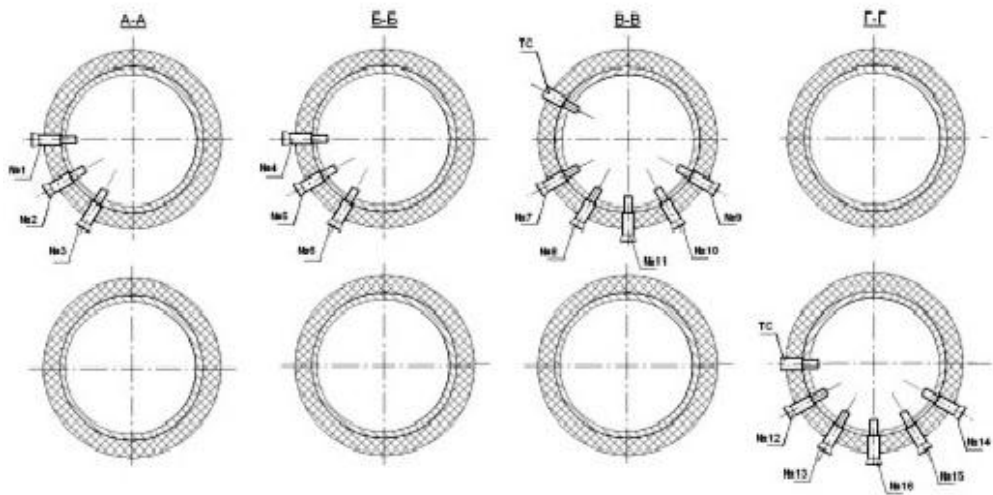
[5],

1-

()

3

.1



. 1.

3,

2, 3

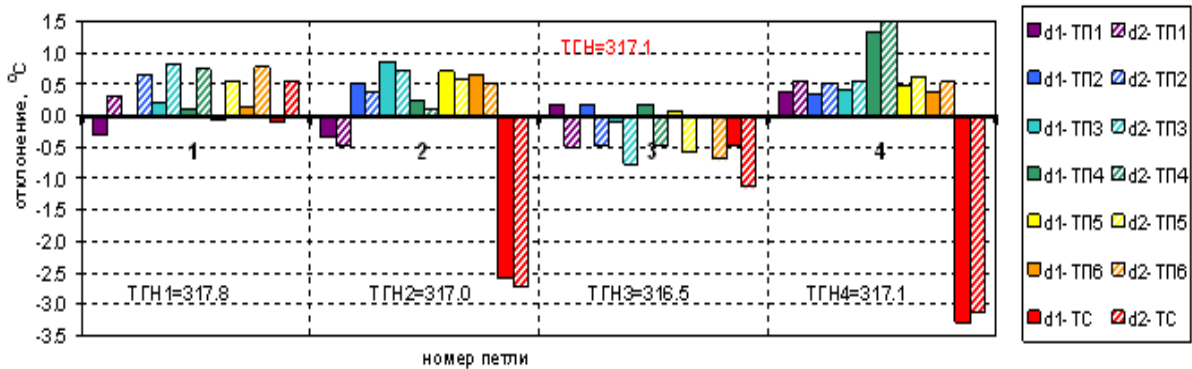
2-

3-

[1, 6]

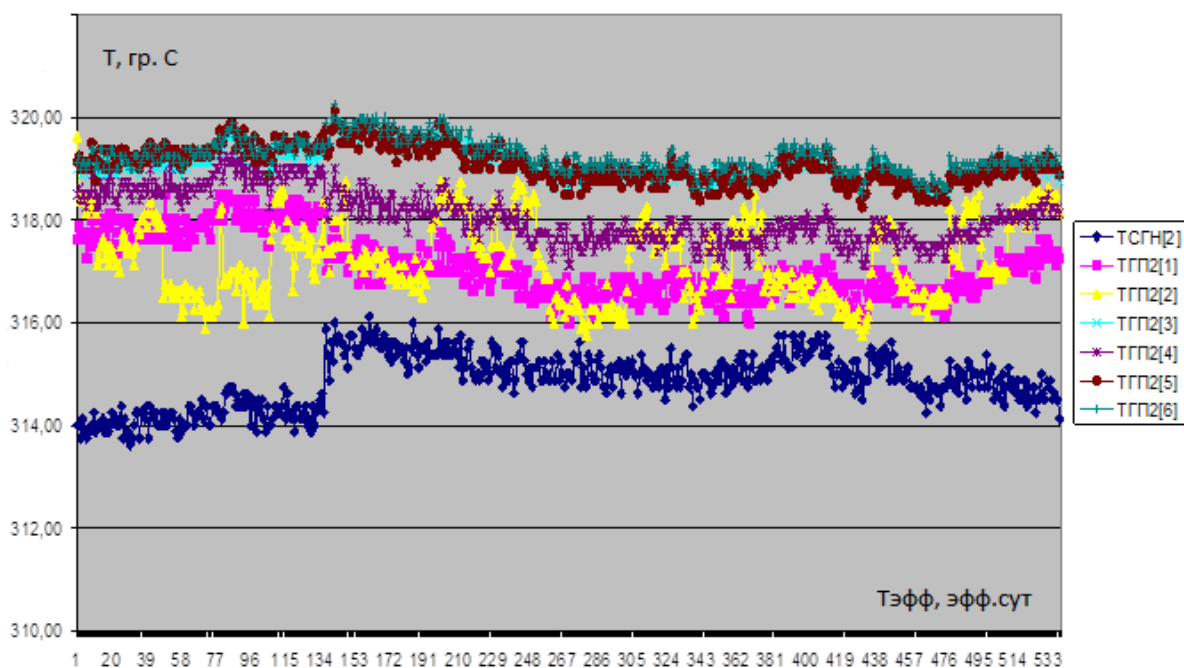
5°

()



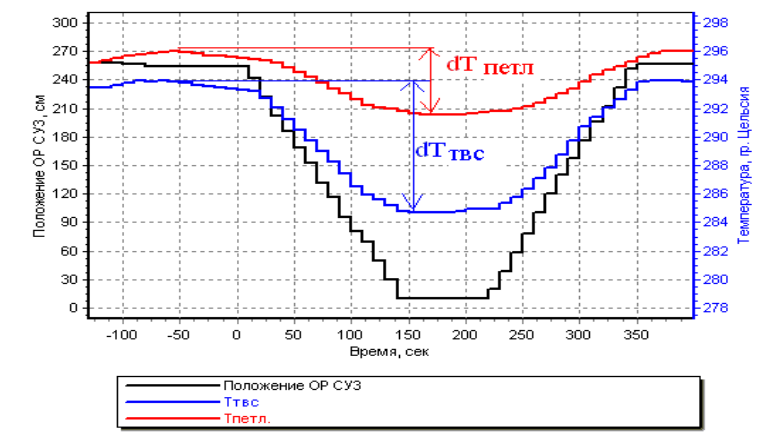
d1 - отклонение показания термодатчика от средней температуры в своей горячей нитке,
d2 - отклонение показания термодатчика от средней температуры по всем горячим ниткам

. 2. (. . . 3 , , =102 . . . , Np=100%N) 1- -

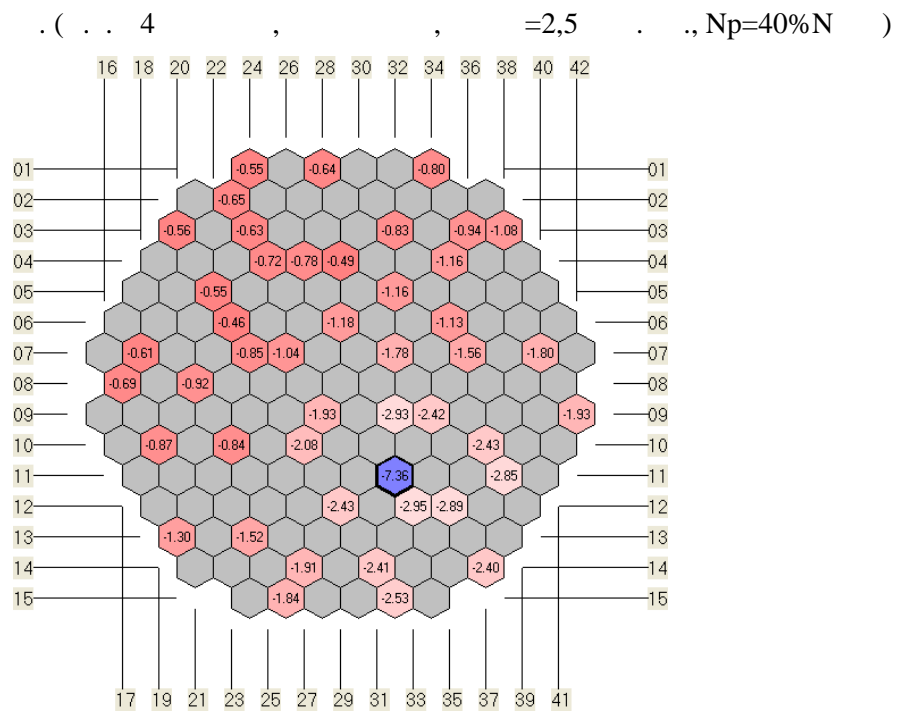


. 3. (. . . 3 , 3- 2-) -

[7-9]. ,



.4.



.5.

(... 4 , , =2,5 . ., Np=40%N)

(. .4, 5).
1-
2-3 . , , ,
-
(i) (ó ()).

$\Delta \bar{z}_{\text{петл}}$

$\Delta \bar{z}_{\text{твс}}$

$$\bar{z} = \frac{\Delta \bar{z}_{\text{петл}}}{\Delta \bar{z}_{\text{твс}}} \quad (1)$$

" (, Y) :

$$X_{\text{цм}} = \frac{\sum_{i=1}^n x_i \cdot k_i}{\sum_{i=1}^n k_i}, \quad Y_{\text{цм}} = \frac{\sum_{i=1}^n y_i \cdot k_i}{\sum_{i=1}^n k_i} \quad (2)$$

: x_i, y_i, k_i ó

i

; n ó

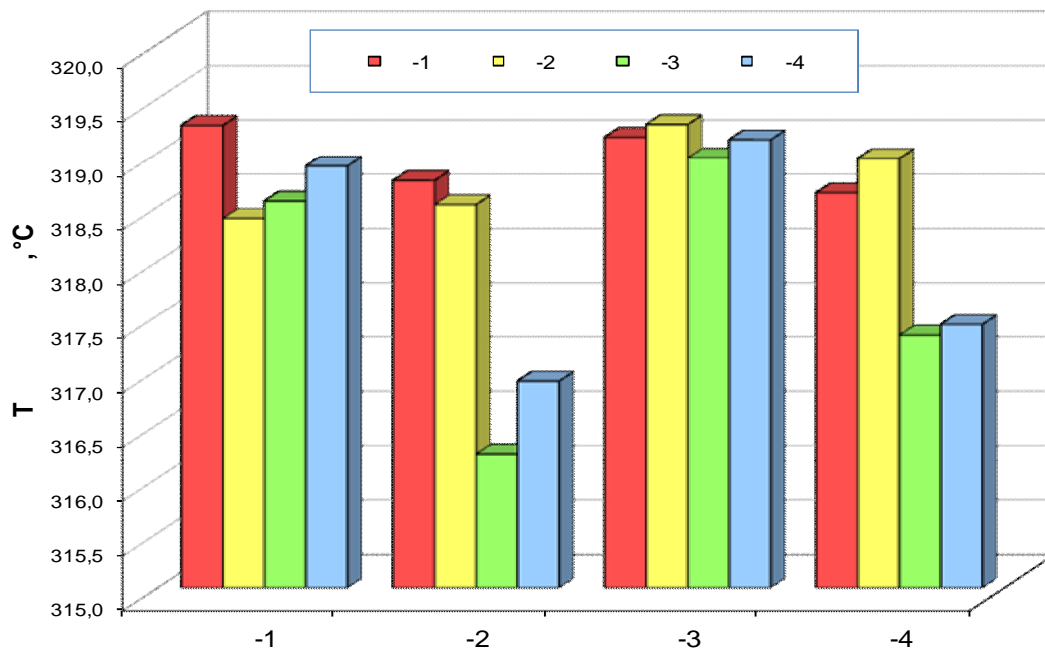
5

1-

(-428)

4

100%



.6.

(... 1,

, $N_p=100\% N$)

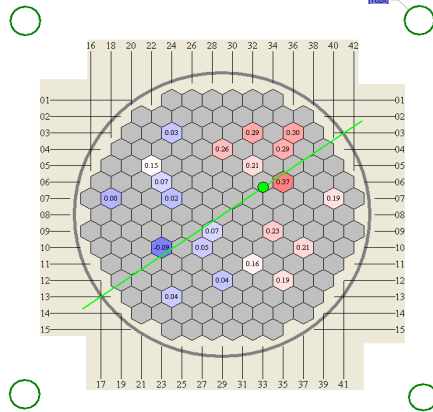
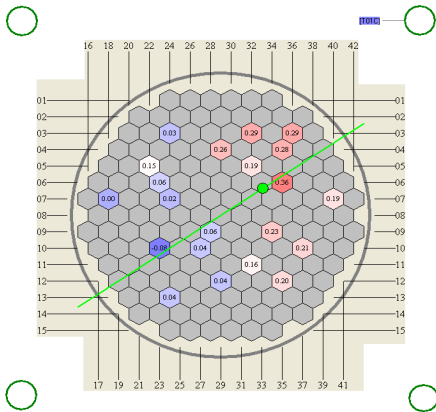
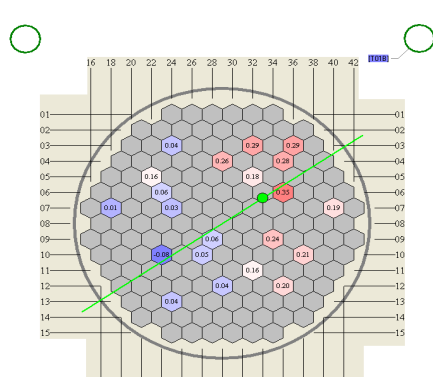
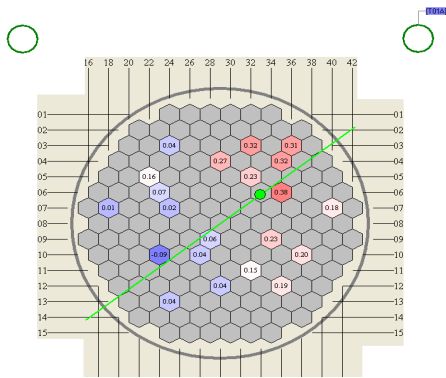
2.5°

2 4.

1 3

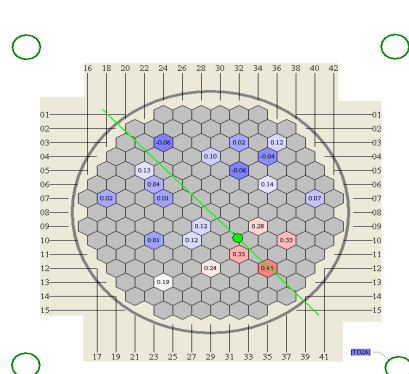
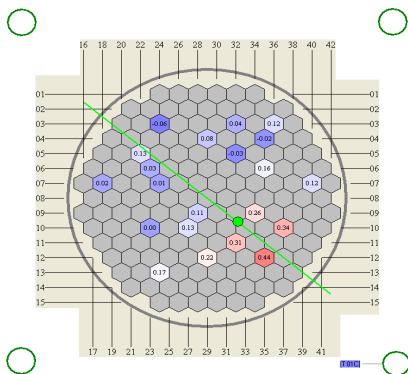
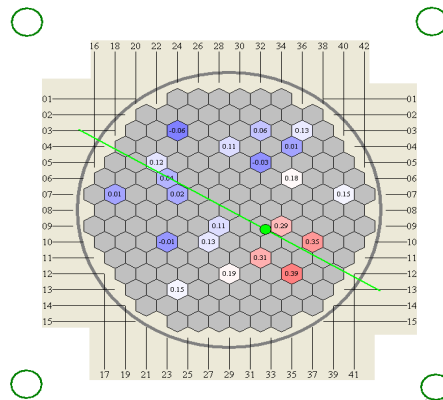
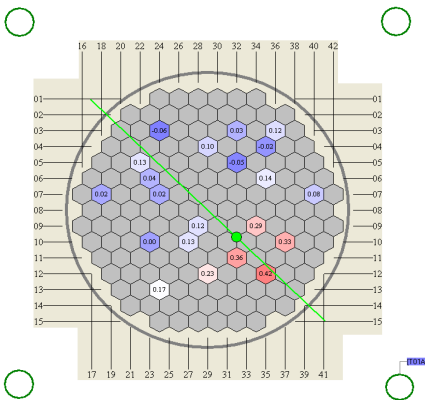
6, 7, 8 9

4



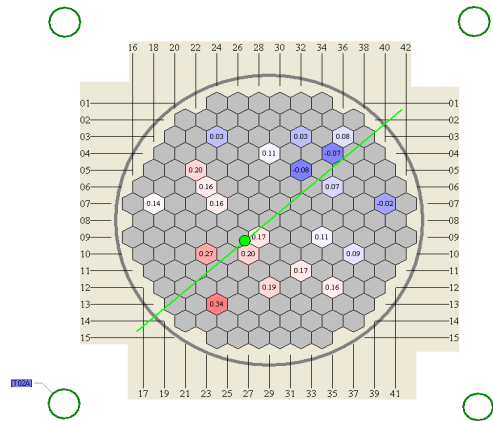
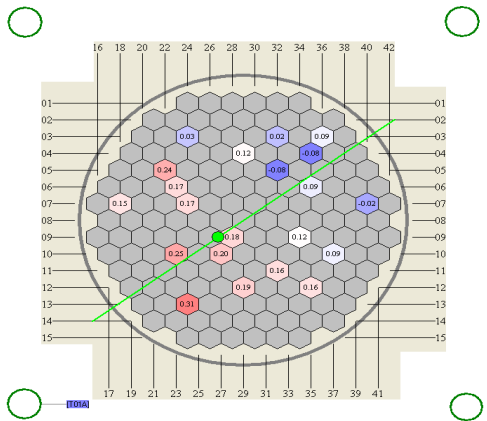
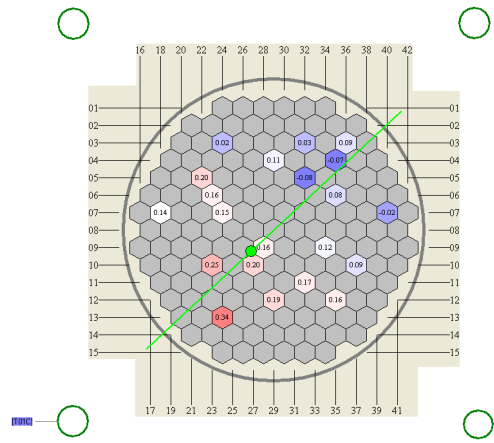
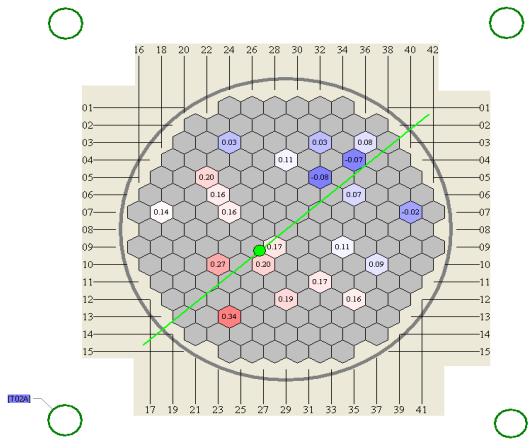
.7.

1(. . 1,)



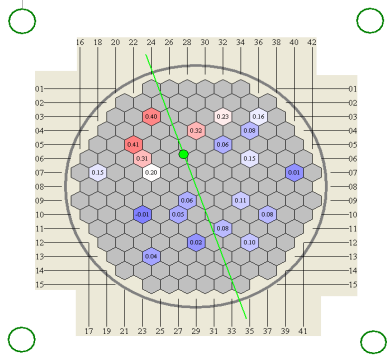
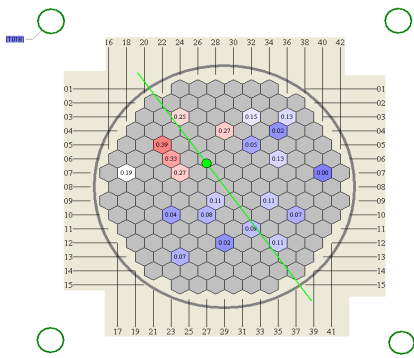
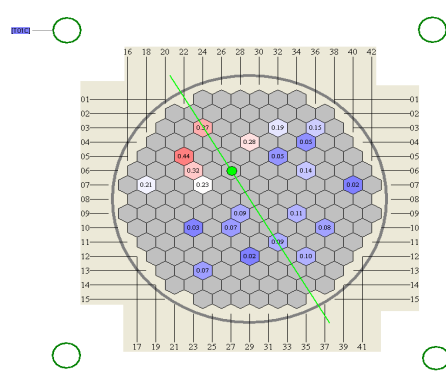
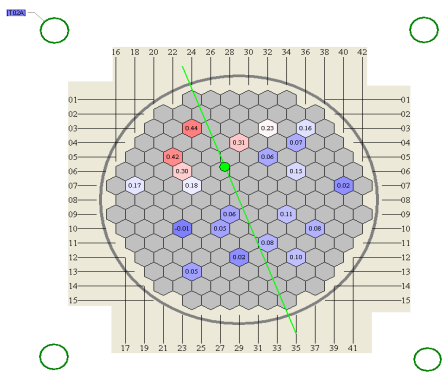
.8.

2(. . 1,)



9.

3 (. . 1,)



10.

4 (. . 1,)

• ;

• ;

• 1 3),

• 2 4),

• -1000 (2

• , 2 4)

	1			2			3			4		
, 1	0,41			0,43			0,38			0,53		
, 1	0,38			0,45			0,34			0,44		
, 2	0,36			0,43			0,43			0,44		
4	0,27			0,28			0,28			0,31		

320 -428, -1000

4

[10],

[5],

9 (7) 4

1. 1-

2. -1000,

1. 3 5-

2. 7-

" , , 2010.

3. T. Hohne, E. Krepper, U.Rohde. Application of CFD Codes in Nuclear Reactor Safety Analysis. Science and Technology of Nuclear Installations. Volume 2010, Article ID 198758, 8 pages, doi:10.1155/2010/198758.

4. Yeon-Sik Kim and e. . Commissioning of the ATLAS thermal-hydraulic integral test facility. Annals of Nuclear Energy. 35 (2008), 179161799.

5. 23.

2008. 6

6. 3 , 2006

7. -1000. 6-

2009. "

8. S. Kleim, B. Hemstrom, Y. Bezrukov e.a. Comparative evaluation of coolant mixing experiments at the ROCOM, Vattenfall and Hidropress test facilities. Science and technology of Nuclear Installations. Volume 2007, Article ID 25950.

9. . . . , . . . ,

" . . . , 2009. " . . . 6-

10. . . . , . . . ,

-1000. 2 -
" . . . , 2012.